

максимумами ионизации в каждом ряду детекторов, даёт направление результирующего импульса адронов p_a [5].

Наиб. развития И. к. достигли в экспериментах на ускорителях со встречными пучками (к о л л а й д е а

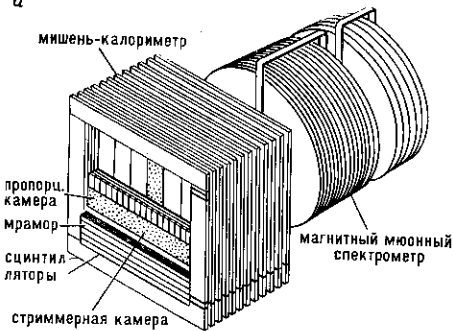
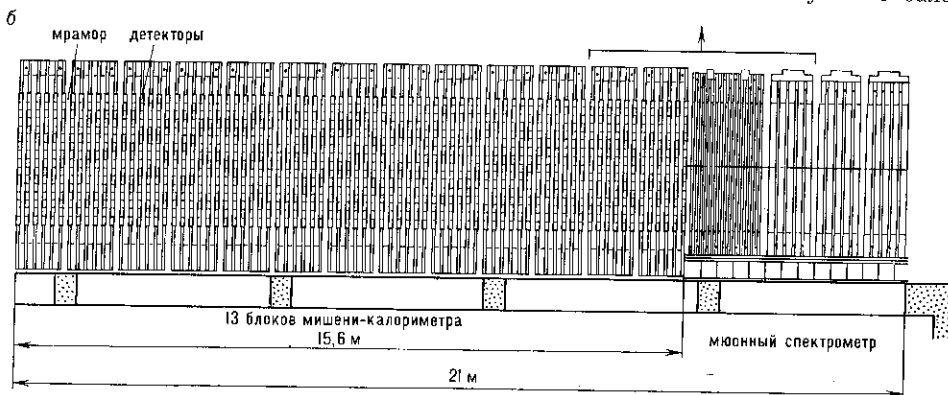


Рис. 3. Установка для исследования слабых взаимодействий (ЦЕРН): а — общий вид; б — сечение.



р а х). Здесь применяются системы И. к. для измерения энергии адронов, электронов и фотонов в пределах всего телесного угла. Одна из таких систем UA-1 (ЦЕРН), предназначенная для изучения взаимодействия протонов p и антипротонов \bar{p} , была использована для открытия W^\pm - и Z^0 -бозонов. Установка содержит 108 И. к.

При столкновении p и \bar{p} кварк d и антикварк \bar{u} , напр., могут породить W^- -бозон, к-рый затем распадается на e и $\bar{\nu}_e$. Остальные кварки вместе с антикварковыми парами (рождёнными из вакуума) дают начало

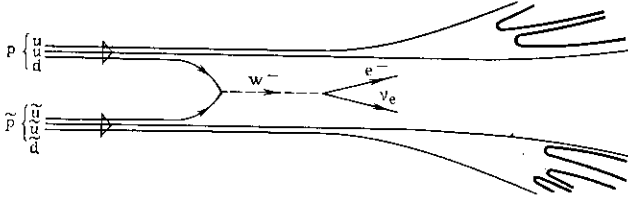


Рис. 4. Рождение W -бозона при столкновении $p\bar{p}$.

струи адронным, летящим вдоль оси столкновений $p\bar{p}$ (рис. 4). Аналогично рождаются и Z^0 -бозоны.

Центр. часть установки (центр. детектор) представляет собой дрейфовую камеру в магн. поле, к-рая позволяет восстановить траектории частиц, рождающихся при столкновении $p\bar{p}$, и определить их импульсы. Центр. детектор вдоль своей длины (6 м) окружён 48 полудцилиндрич. электронно-фотонными И. к., в к-рых поглощаются электроны, позитроны и фотоны и к-рые измеряют энергию этих частиц. Они состоят из слоёв сцинтиллятора и Pb. Энергичные адроны проникают через них в адронный калориметр, к-рым слу-

жит железное ядро магнита, прослойное 16 слоями сцинтилляторов. Обе системы И. к. измеряют энергию адронов. Вся установка (UA-1) окружена 8 слоями дрейфовых камер — мюонных детекторов (рис. 5).

Вероятности рождения W^\pm и Z^0 -бозонов очень мала: доля процесса $p+p \rightarrow W^\pm + \text{адроны}$ порядка 10^{-8} , а $\rightarrow e^\pm + \nu_e (\bar{\nu}_e)$ доля процесса $p+p \rightarrow Z^0 + \text{адроны}$ порядка 10^{-9} от $\rightarrow e^+ + e^-$

полного числа процессов, идущих при столкновении p и \bar{p} . При идентификации W^\pm -бозонов рассматривались события, в к-рых возникал электрон (позитрон) с большим поперечным импульсом. Электроном считалась одиночная заряж. частица, зарегистрированная центр. детектором, энергии к-рой (~ 40 ГэВ) полностью поглотилась в электронно-фотонном И. к., а профиль каскада соответствовал ЭФК. При этом энергии, выделенная в И. к., совпадает с измеренной в центр. детекторе.

Др. характерным признаком распада $W^\pm \rightarrow e + \nu_e (\bar{\nu}_e)$ является отсутствие баланса поперечной энергии, что указывает на вылет нейтрино в направлении, противоположном направлению вылета электрона. Из установки нейтрино исчезает бесследно, все остальные частицы либо останавливаются в И. к. (электроны, фотоны, адроны), либо оставляют в ней след (мюоны). Оба признака в сочетании с оценкой массы системы электрон-нейтрино указывали на существование W^\pm -бозона.

Z^0 -бозон обнаружен по измеренной инвариантной массе двух наблюдаемых пар $\mu^+\mu^-$ или e^+e^- . В последнем случае для определения массы Z^0 -бозона используются калориметрич. данные об энергии электрона и позитрона [6].

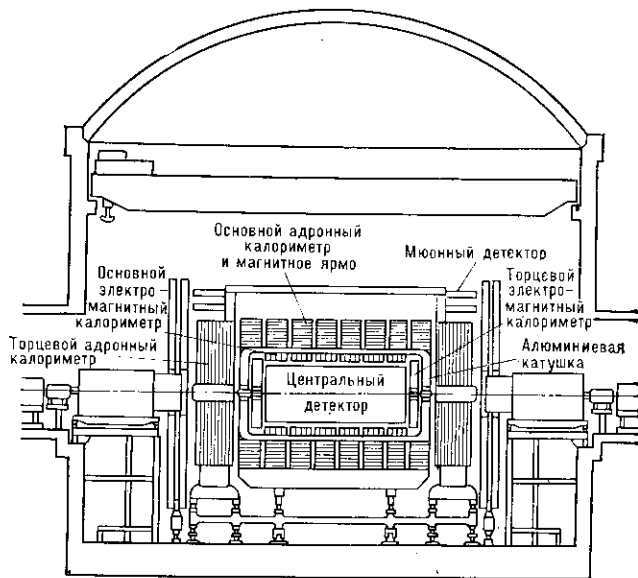


Рис. 5. Установка UA-1 на коллайдере.

Лит.: 1) Murzin V. S., Principles and application of the ionization calorimeter, в кн.: Progress in elementary particle and cosmic ray physics, v. 9, Amst., 1967; 2) Демьянов А. И., Мурзин В. С., Сарычева Т. И., Ядерно-каскадный процесс в плотном веществе, М., 1977; 3) Григоров Н. Л., Мурзин В. С., Райпорт И. Д., Метод измерения энергии частиц в области выше 10^{11} эВ, «ЖЭТФ», 1958, т. 34,